

УДК 532.5, 616.61

## ТЕЧЕНИЕ ЖИДКОСТИ ЭЛЛИСА В ПОЧЕЧНЫХ КАНАЛЬЦАХ

М. Саджид, М. Руман, Н. Али, М. Н. Садик

Международный исламский университет, 4400 Исламабад, Пакистан

E-mails: muhammad.sajid@iiu.edu.pk, roomankhan31@gmail.com,

nasir.ali@iiu.edu.pk, noveelsheikh@gmail.com

Исследовано течение жидкости Эллиса в почечных канальцах. Степень поглощения жидкости стенкой зависит от градиента давления и проницаемости стенки. Система уравнений задачи существенно упрощена с использованием предположения, что радиус трубки значительно меньше ее длины. Задача решена численно при различных значениях параметров задачи. Показано, что полученные результаты хорошо согласуются с известными данными.

Ключевые слова: жидкость Эллиса, почечные канальцы, ползущее течение, осесимметричное течение.

DOI: 10.15372/PMTF20210213

**Введение.** Потоки жидкости в проницаемых трубках встречаются во многих промышленных и физиологических процессах, в частности в процессах фильтрации и массообмена (опреснение с помощью обратного осмоса, кровообращение через искусственную почку (при гемодиализе), лимфатическое течение через систему лимфатических капилляров, очищение крови через почечные канальцы нефрона в почках). Прохождение жидкости в почках по почечным канальцам является важным физиологическим процессом. Функционирование нефрона в почках существенно зависит от потока жидкости через почечные канальцы, который переносит конечные продукты метаболизма. Это позволяет поддерживать необходимый объем жидкости в организме. Течение жидкости в канальцах происходит вследствие падения давления. Поэтому исследование гидродинамики течения жидкости в канальцах позволит более точно определить функции нефрона. При математической постановке задачи в качестве модели почечного канальца рассматривается проницаемый канал, через стенки которого протекает жидкость. При изучении полей скорости и давления в таких каналах использование закона Пуазейля нецелесообразно вследствие повторного поглощения жидкости стенками трубок.

Впервые исследование течения в почечных канальцах проведено в работах [1, 2]. При изучении ползущего течения вязкой жидкости через узкие трубки установлено, что по мере продвижения жидкости в трубке скорость течения уменьшается по экспоненциальному закону. В работе [3] исследовалось течение через пористые стенки трубки при малых числах Рейнольдса. В [4] изучалось течение в трубке с переменной площадью поперечного сечения. Точное решение задачи о ползущем течении вязкой жидкости в канале с проницаемыми стенками без учета инерционных членов получено в [5]. В [6] изучено движение вязкой жидкости по проницаемой трубке в предположении, что количество жидкости, просачивающейся через стенки трубки, является линейной функцией градиента давления,

направленного по нормали к стенке трубки. Ползущее течение вязкой жидкости в трубке с переменной проницаемостью стенки исследовано в работе [7]. В [8] изучено течение жидкости в почечных канальцах при наличии внешнего магнитного поля, в [9] — обратное микрополярное течение и утечка жидкости в почечных канальцах.

Большинство исследований течения жидкости в почечных канальцах проводилось в предположении, что жидкость является ньютоновской. Однако в большинстве физиологических и промышленных процессов жидкость является неньютоновской. С использованием экспериментальных данных разработаны различные модели жидкостей с кажущейся вязкостью, называемых обобщенными ньютоновскими жидкостями. В таких жидкостях реакция на касательные напряжения не зависит от истории процесса. Модели обобщенных ньютоновских жидкостей широко используются при изучении перистальтических течений [10, 11] и течений крови [12, 13].

В данной работе при изучении течения в почечных канальцах используется модель жидкости Эллиса, преимущество которой заключается в том, что она включает модель жидкости Ньютона и модель жидкости Оствальда — де Вилия. В работе [14] при изучении течения жидкости Эллиса в режиме прессования использована приближенная теория смазки. В [15] исследованы коэффициенты сопротивления жидкости Эллиса при медленном движении в ней сферы. В [16] экспериментально исследовано медленное движение шара в жидкости Эллиса.

В данной работе при изучении течения в трубках приведены определяющие соотношения модели жидкости Эллиса. Предложен алгоритм численного решения уравнений Навье — Стокса с учетом того, что жидкость просачивается через стенки при ее движении вдоль трубки. Кроме того, построена простая модельная система и сформулированы условия для определения дробной реабсорбции входящего потока. Теоретически исследованы обратное течение и утечка жидкости в почечных канальцах.

**1. Математическая постановка задачи.** Рассматривается осесимметричное ползущее течение жидкости Эллиса в длинной трубе радиусом  $a$  и длиной  $L$ . Вследствие действия градиента давления течение является медленным. Ось  $z$  направлена вдоль трубы. В цилиндрической системе координат система дифференциальных уравнений имеет вид

$$\begin{aligned} \frac{1}{\tilde{r}} \frac{\partial}{\partial \tilde{r}} (\tilde{r}\tilde{v}) + \frac{\partial \tilde{u}}{\partial \tilde{z}} &= 0, \\ \frac{\partial \tilde{p}}{\partial \tilde{r}} &= \frac{1}{\tilde{r}} \frac{\partial}{\partial \tilde{r}} (\tilde{r}\tilde{\tau}_{rr}) + \frac{1}{\tilde{r}} \frac{\partial \tilde{\tau}_{r\theta}}{\partial \tilde{\theta}} + \frac{\partial \tilde{\tau}_{rz}}{\partial \tilde{z}} - \frac{\tilde{\tau}_{\theta\theta}}{\tilde{r}}, \\ \frac{\partial \tilde{p}}{\partial \tilde{z}} &= \frac{1}{\tilde{r}} \frac{\partial}{\partial \tilde{r}} (\tilde{r}\tilde{\tau}_{rz}) + \frac{1}{\tilde{r}} \frac{\partial \tilde{\tau}_{\theta z}}{\partial \tilde{\theta}} + \frac{\partial \tilde{\tau}_{zz}}{\partial \tilde{z}}, \end{aligned} \quad (1)$$

где  $\tilde{u}(\tilde{r}, \tilde{z})$ ,  $\tilde{v}(\tilde{r}, \tilde{z})$  — осевая и радиальная компоненты вектора скорости соответственно;  $\tilde{p}(\tilde{r}, \tilde{z})$  — давление жидкости. Краевые условия записываются следующим образом:

$$\begin{aligned} \tilde{v}(0, \tilde{z}) &= 0, \quad \frac{\partial \tilde{u}(0, \tilde{z})}{\partial \tilde{r}} = 0, \\ \tilde{v}(a, \tilde{z}) &= L_p[\tilde{p}(a, \tilde{z}) - p_m], \quad \tilde{u}(a, \tilde{z}) = 0, \\ \tilde{p}(\tilde{r}, 0) &= \tilde{p}_0, \quad \tilde{p}_0 = \text{const}, \quad \tilde{Q}_0 = 2\pi \int_0^a \tilde{r}\tilde{u}(\tilde{r}, 0) d\tilde{r}. \end{aligned}$$

Здесь  $L_p$  — гидродинамический коэффициент проницаемости стенки трубки;  $p_m = p_e - \pi_e$ ;  $p_e$  — гидростатическое давление;  $\pi_e$  — осмотическое давление вне канальца;  $\tilde{Q}_0$  — расход жидкости в канальце в точке  $\tilde{z} = 0$ .

В уравнениях (1) компоненты тензора сверхнапряжений  $\tau$  удовлетворяют определяющему соотношению жидкости Эллиса:

$$\begin{aligned}\tilde{\tau}_{rr} &= 4\mu_0 \frac{\partial \tilde{v}}{\partial \tilde{r}} / \left[ 1 + \left( \frac{1}{\tau_0^2} \sqrt{\frac{\tilde{\tau}_{rr}^2 + 2\tilde{\tau}_{rz}^2 + \tilde{\tau}_{\theta\theta}^2 + \tilde{\tau}_{zz}^2}{2}} \right)^{\alpha-1} \right], \\ \tilde{\tau}_{rz} &= 2\mu_0 \left( \frac{\partial \tilde{u}}{\partial \tilde{r}} + \frac{\partial \tilde{v}}{\partial \tilde{z}} \right) / \left[ 1 + \left( \frac{1}{\tau_0^2} \sqrt{\frac{\tilde{\tau}_{rr}^2 + 2\tilde{\tau}_{rz}^2 + \tilde{\tau}_{\theta\theta}^2 + \tilde{\tau}_{zz}^2}{2}} \right)^{\alpha-1} \right], \\ \tilde{\tau}_{\theta\theta} &= 4\mu_0 \frac{\tilde{v}}{\tilde{r}} / \left[ 1 + \left( \frac{1}{\tau_0^2} \sqrt{\frac{\tilde{\tau}_{rr}^2 + 2\tilde{\tau}_{rz}^2 + \tilde{\tau}_{\theta\theta}^2 + \tilde{\tau}_{zz}^2}{2}} \right)^{\alpha-1} \right], \\ \tilde{\tau}_{zz} &= 4\mu_0 \frac{\partial \tilde{u}}{\partial \tilde{z}} / \left[ 1 + \left( \frac{1}{\tau_0^2} \sqrt{\frac{\tilde{\tau}_{rr}^2 + 2\tilde{\tau}_{rz}^2 + \tilde{\tau}_{\theta\theta}^2 + \tilde{\tau}_{zz}^2}{2}} \right)^{\alpha-1} \right].\end{aligned}$$

Здесь  $\mu_0$  — вязкость при нулевой скорости сдвига;  $\tau_0$  — материальная константа;  $\alpha$  — материальный параметр жидкости Эллиса (значение  $\alpha = 1$  соответствует ньютоновской жидкости).

В безразмерных переменных

$$\begin{aligned}r &= \frac{\tilde{r}}{a}, & z &= \frac{\tilde{z}}{L}, & u(r, z) &= \frac{\pi a^2 \tilde{u}}{\tilde{Q}_0}, & v(r, z) &= \frac{\pi a^2 L \tilde{v}}{\tilde{Q}_0}, & A &= \frac{a}{L}, \\ p(r, z) &= \frac{[\tilde{p}(\tilde{r}, \tilde{z}) - p_m] \pi a^4}{\mu_0 L \tilde{Q}_0}, & K &= \frac{L_p \mu_0 L}{a^2 A}, & Q(z) &= \frac{\tilde{Q}(z)}{\tilde{Q}_0}, & \tau_{ij} &= \frac{\pi a^3 \tilde{\tau}_{ij}}{\mu_0 \tilde{Q}_0}\end{aligned}$$

система дифференциальных уравнений и определяющие соотношения записываются следующим образом:

$$\frac{\partial}{\partial r} (rv) + \frac{\partial}{\partial z} (ru) = 0; \quad (2)$$

$$\frac{\partial p}{\partial r} = A \left( \frac{1}{r} \frac{\partial}{\partial r} (r\tau_{rr}) + A \frac{\partial \tau_{rz}}{\partial z} - \frac{\tau_{\theta\theta}}{r} \right); \quad (3)$$

$$\frac{\partial p}{\partial z} = \frac{1}{r} \frac{\partial}{\partial r} (r\tau_{rz}) + A \frac{\partial \tau_{zz}}{\partial z}; \quad (4)$$

$$v(0, z) = 0; \quad (5)$$

$$\frac{\partial u}{\partial r}(0, z) = 0; \quad (6)$$

$$v(1, z) = Kp(1, z); \quad (7)$$

$$u(1, z) = 0; \quad (8)$$

$$p(r, 0) = p_0, \quad p_0 = c/(2K); \quad (9)$$

$$2 \int_0^1 ru(r, 0) dr = 1; \quad (10)$$

$$\tau_{rr} = 4A \frac{\partial v}{\partial r} / \left[ 1 + \left( \frac{\mu_0 \tilde{Q}_0}{\pi a^3 \tau_0^2} \sqrt{\frac{\tau_{rr}^2 + 2\tau_{rz}^2 + \tau_{\theta\theta}^2 + \tau_{zz}^2}{2}} \right)^{\alpha-1} \right],$$

$$\begin{aligned}\tau_{rz} &= 2\left(\frac{\partial u}{\partial r} + A^2 \frac{\partial v}{\partial z}\right) / \left[1 + \left(\frac{\mu_0 \tilde{Q}_0}{\pi a^3 \tau_0^2} \sqrt{\frac{\tau_{rr}^2 + 2\tau_{rz}^2 + \tau_{\theta\theta}^2 + \tau_{zz}^2}{2}}\right)^{\alpha-1}\right], \\ \tau_{\theta\theta} &= 4A \frac{v}{r} / \left[1 + \left(\frac{\mu_0 \tilde{Q}_0}{\pi a^3 \tau_0^2} \sqrt{\frac{\tau_{rr}^2 + 2\tau_{rz}^2 + \tau_{\theta\theta}^2 + \tau_{zz}^2}{2}}\right)^{\alpha-1}\right], \\ \tau_{zz} &= 4A \frac{\partial u}{\partial z} / \left[1 + \left(\frac{\mu_0 \tilde{Q}_0}{\pi a^3 \tau_0^2} \sqrt{\frac{\tau_{rr}^2 + 2\tau_{rz}^2 + \tau_{\theta\theta}^2 + \tau_{zz}^2}{2}}\right)^{\alpha-1}\right].\end{aligned}$$

Примем допущения, соответствующие течениям в биологических канальцах, и предположим, что через стенки канальцев теряется незначительное количество жидкости. В этом случае  $A \ll 1$ ,  $V_w \ll U_m$  ( $A$  — отношение радиуса канальца к его длине;  $V_w$  — радиальная скорость жидкости на стенке;  $U_m$  — средняя осевая скорость жидкости) и уравнения задачи принимают вид

$$\frac{\partial p}{\partial r} = 0; \tag{11}$$

$$\frac{\partial p}{\partial z} = \frac{1}{r} \frac{\partial}{\partial r} (r\tau_{rz}); \tag{12}$$

$$\tau_{rr} = \tau_{\theta\theta} = \tau_{zz} = 0; \tag{13}$$

$$\tau_{rz} = \frac{2}{1 + (\beta\tau_{rz})^{\alpha-1}} \frac{\partial u}{\partial r}, \tag{14}$$

где  $\beta = \mu_0 \tilde{Q}_0 / (\pi a^2 \tau_0^2)$  — параметр жидкости Эллиса. Из уравнения (11) следует, что  $p = p(z)$ . Исключая  $\tau_{rz}$  из уравнений (12), (14), получаем

$$2u_r = \frac{r}{2} \frac{dp}{dz} + \beta^{\alpha-1} \left(\frac{r}{2} \frac{dp}{dz}\right)^\alpha. \tag{15}$$

Проинтегрировав уравнение (15) по  $r$  с учетом условия (8), имеем

$$u(r, z) = \frac{1}{8} \frac{dp}{dz} (r^2 - 1) + \frac{\beta^{\alpha-1}}{2(\alpha + 1)} \left(\frac{1}{2} \frac{dp}{dz}\right)^\alpha (r^{\alpha+1} - 1).$$

Компоненту скорости  $v$  можно вычислить из уравнения неразрывности:

$$v(r, z) = -\frac{1}{32} \frac{d^2 p}{dz^2} (r^3 - 2r) - \frac{\alpha\beta^{\alpha-1}}{8(\alpha + 1)(\alpha + 3)} \left(\frac{1}{2} \frac{dp}{dz}\right)^{\alpha-1} \frac{d^2 p}{dz^2} (2r^{\alpha+2} - (\alpha + 3)r).$$

Интегрируя уравнение (2) от  $r = 0$  до  $r = 1$  и используя краевые условия (5), (7), получаем

$$\frac{d^2 p}{dz^2} = 32Kp(z) / \left[1 + \frac{4\alpha}{\alpha + 3} \left(\frac{\beta}{2} \frac{dp}{dz}\right)^{\alpha-1}\right]. \tag{16}$$

Дробная реабсорбция представляет собой количество жидкости, реабсорбирующейся через стенки канала, и определяется соотношением

$$R_f = \frac{Q_0 - Q_1}{Q_0},$$

где

$$Q(z) = \int_0^1 2ru(r, z) dr.$$

Экспериментальные данные для нормальных гидропонных крыс [6]

$p_a$ , мм рт. ст.	$\tilde{p}_0$ , см вод. ст.	$p_e$ , см вод. ст.	$\pi_e$ , см вод. ст.	$\tilde{Q}_0$ , см <sup>3</sup> /с
122	14,7	9,8	17,3	44,7
100	14,4	10,3	16,5	40,2
79	14,0	9,1	14,9	31,0
55	11,4	8,0	12,9	15,0

Примечание.  $p_a$  — артериальное давление.

Уравнение (16) с краевыми условиями (9), (10) решалось с использованием функции NDSolve пакета Mathematica. Задача решалась численно при следующих значениях параметров проксимального извитого каналца крысы:  $a = 1,08 \cdot 10^{-3}$  см,  $L = 0,67$  см,  $L_p = 1,5 \cdot 10^{-6}$  м<sup>2</sup>,  $\tilde{p}_0 = 14,4$  см вод. ст.,  $p_e = 10,3$  см вод. ст.,  $\pi_e = 16,5$  см вод. ст.,  $\tilde{Q}_0 = 40,2 \cdot 10^{-8}$  см<sup>3</sup> вод. ст.,  $\mu_0 = 7,37 \cdot 10^{-6}$  кг/(м·с) [6]. При решении задачи использовались экспериментальные данные для нормальных гидропонных крыс (см. таблицу).

**2. Результаты исследования и их обсуждение.** Проведен анализ влияния параметров жидкости Эллиса на скорость жидкости, давление, градиент давления, напряжения сдвига в стенке каналца, падение давления, а также на дробную реабсорбцию. Зависимости расхода  $Q$  для ньютоновской жидкости и жидкости Эллиса от координаты  $z$  при  $\beta = 2$  и различных значениях параметров  $c$ ,  $\alpha$  приведены на рис. 1. В зависимости от значения параметра  $c$  как для ньютоновской жидкости, так и для жидкости Эллиса можно выделить три области. Области I для ньютоновской жидкости соответствуют значения  $0 < c < 1$ , для жидкости Эллиса —  $0 < c < 0,7$ . В этой области величина  $Q$  уменьшается от значения  $Q = 1$  при  $z = 0$  до минимального значения, а затем монотонно возрастает, стремясь к  $+\infty$  при  $z \rightarrow \infty$ . В области II для ньютоновской жидкости и жидкости Эллиса  $c = 1$  и  $c = 0,7$  соответственно. В этой области величина  $Q$  монотонно убывает от значе-

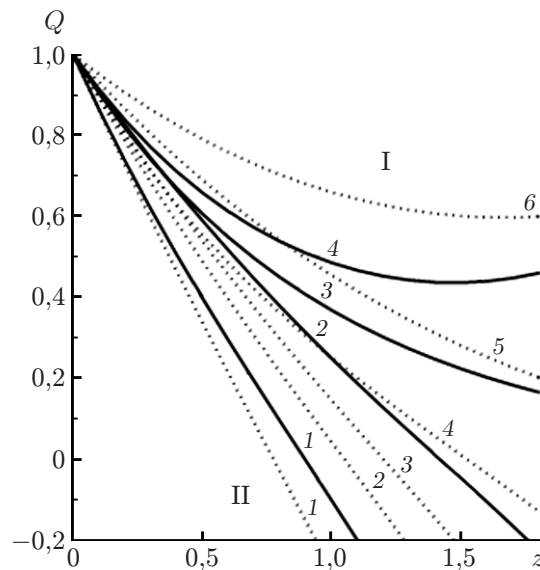


Рис. 1. Зависимость расхода жидкости  $Q$  от координаты  $z$  при  $\beta = 2$  и различных значениях  $c$ ,  $\alpha$ :

сплошные линии —  $\alpha = 1$ , пунктирные —  $\alpha = 3$ ; 1 —  $c = 1,4$ , 2 —  $c = 1,1$ , 3 —  $c = 1,0$ , 4 —  $c = 0,9$ , 5 —  $c = 0,7$ , 6 —  $c = 0,5$ ; I — область всасывания, II — область обратного течения

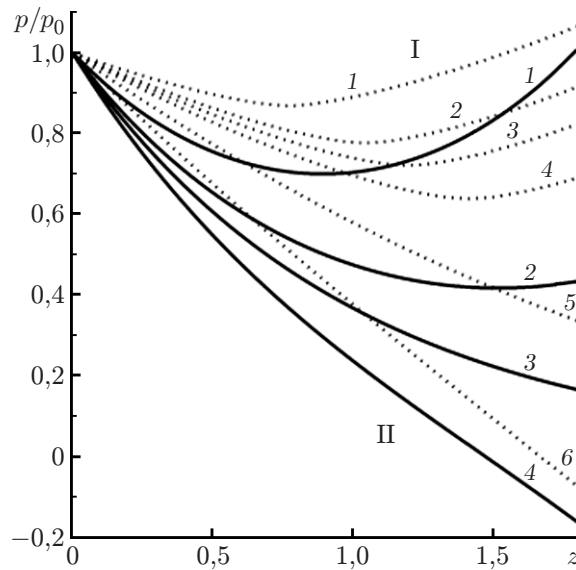


Рис. 2. Зависимость давления  $p/p_0$  от координаты  $z$  при  $\beta = 2$  и различных значениях  $c$ :  
 сплошные линии —  $\alpha = 1$ , пунктирные —  $\alpha = 3$ ; 1 —  $c = 1,4$ , 2 —  $c = 1,1$ , 3 —  $c = 1,0$ ,  
 4 —  $c = 0,9$ , 5 —  $c = 0,7$ , 6 —  $c = 0,5$ ; I — область, в которой давление в обратном  
 течении возрастает, II — область, в которой давление в обратном течении убывает

ния  $Q = 1$  при  $z = 0$  и при  $z \rightarrow \infty \quad Q \rightarrow 0$ . В области III для ньютоновской жидкости  $1 < c < \infty$ , для жидкости Эллиса  $0,7 < c < \infty$ . В этой области расход жидкости монотонно убывает, стремясь к  $-\infty$  при больших значениях  $z$ . В области III имеет место обратное течение, которое недопустимо во многих реальных физических процессах. Из зависимостей, приведенных на рис. 1, следует, что расход жидкости уменьшается с увеличением параметров  $c, \alpha$ .

Зависимости давления  $p/p_0$  от координаты  $z$  при различных значениях параметров  $c, \alpha$  приведены на рис. 2. Давление в ньютоновской жидкости уменьшается и достигает минимального значения при  $c < 1,0$ . В жидкости Эллиса при  $\alpha = 3$  и наличии обратного течения давление увеличивается даже при  $c < 1,0$ .

На рис. 3,а приведены зависимости радиальной компоненты скорости  $v$  от координаты  $r$  при  $z = 0,1, p_0 = 43, \beta = 2, K = 0,001$  и различных значениях  $\alpha$ . Видно, что для жидкости Эллиса радиальная скорость больше, чем для ньютоновской жидкости.

На рис. 3,б показаны зависимости радиальной компоненты скорости  $v$  от координаты  $r$  при  $z = 0,1, p_0 = 43, \beta = 2, \alpha = 3$  и различных значениях коэффициента проницаемости  $K$ .

Радиальная скорость является возрастающей функцией проницаемости. Зависимости осевой скорости  $u$  от координаты  $r$  при различных значениях параметров  $\alpha, K$  приведены на рис. 4. Видно, что осевая скорость  $u$  уменьшается с увеличением как параметра  $\alpha$ , так и параметра  $K$ . На рис. 5 представлены зависимости напряжения сдвига  $\tau_w$  от координаты  $z$  при различных значениях параметров  $\alpha, K$ . Напряжение сдвига  $\tau_w$  уменьшается с увеличением параметра  $K$  и увеличивается с увеличением параметра  $\alpha$ . Зависимости дробной реабсорбции  $R_f$  от начального давления  $p_0$  при различных значениях параметров  $\alpha, K$  приведены на рис. 6. Видно, что дробная реабсорбция увеличивается с увеличением параметров  $K, \alpha$ .

**Заключение.** В работе изучено течение неньютоновской жидкости Эллиса в трубках малого диаметра с проницаемыми стенками. Такое течение имеет место в почечных

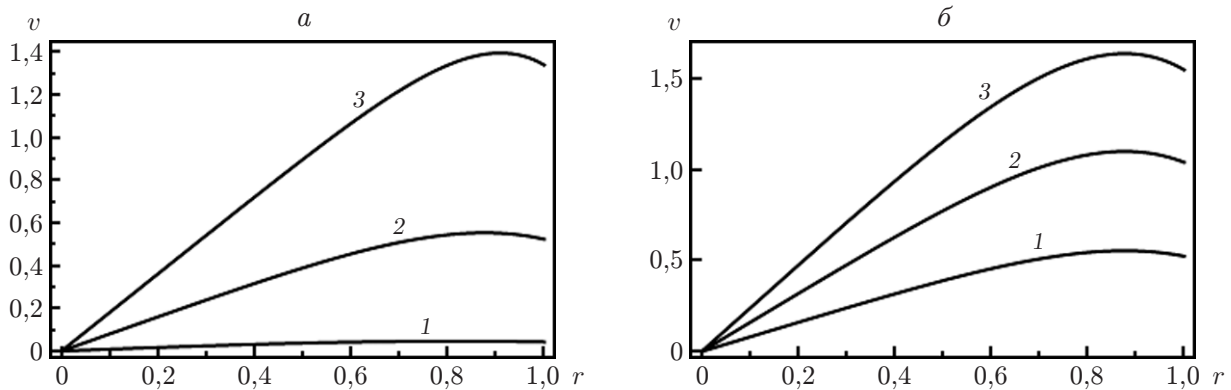


Рис. 3. Зависимость радиальной компоненты скорости  $v$  от координаты  $r$  при  $z = 0,1$ ,  $p_0 = 43$ ,  $\beta = 2$  и различных значениях  $K$ ,  $\alpha$ :

$a$  —  $K = 0,001$  (1 —  $\alpha = 1$ , 2 —  $\alpha = 3$ , 3 —  $\alpha = 5$ ),  $b$  —  $\alpha = 3$  (1 —  $K = 0,001$ , 2 —  $K = 0,002$ , 3 —  $K = 0,003$ )

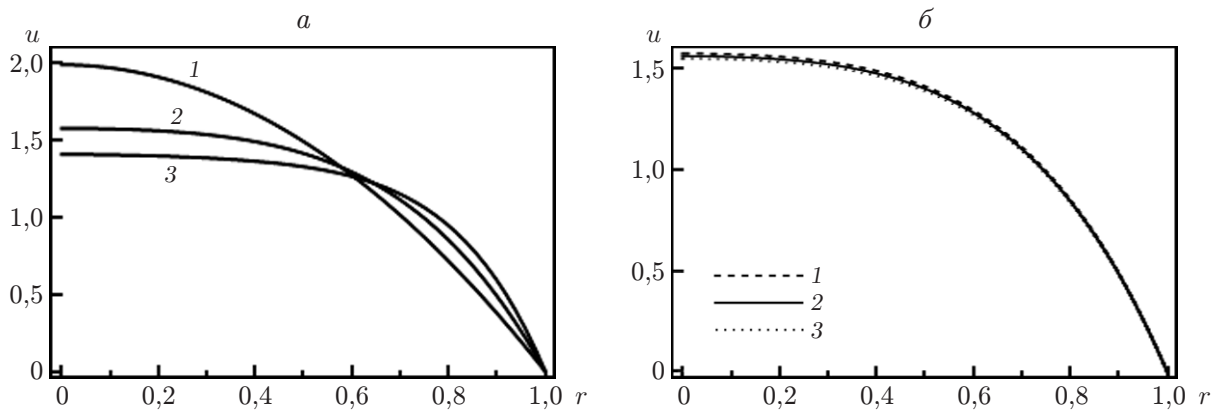


Рис. 4. Зависимости величины  $u$  от координаты  $r$  при  $p_0 = 43$ ,  $z = 0,1$ ,  $\beta = 2$  и различных значениях  $K$ ,  $\alpha$ :

$a$  —  $K = 0,001$  (1 —  $\alpha = 1$ , 2 —  $\alpha = 3$ , 3 —  $\alpha = 5$ ),  $b$  —  $\alpha = 3$  (1 —  $K = 0,001$ , 2 —  $K = 0,002$ , 3 —  $K = 0,003$ )

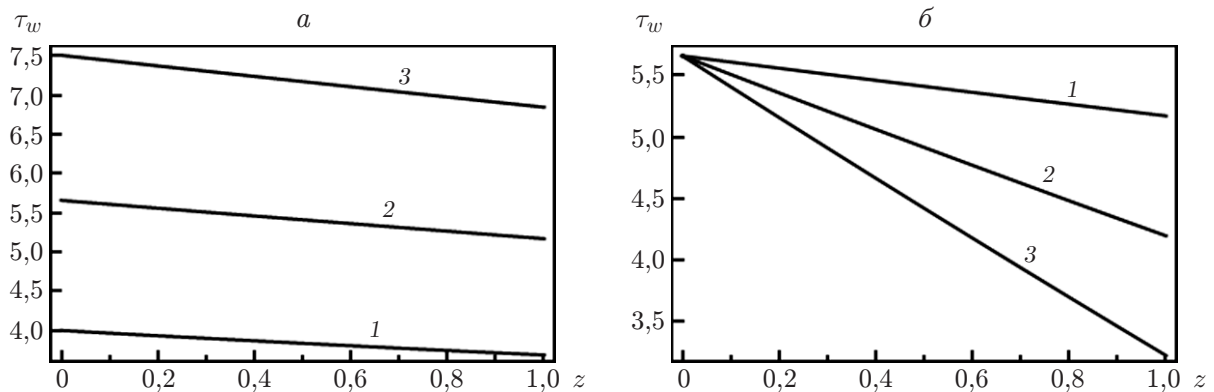


Рис. 5. Зависимости напряжений сдвига в стенке от координаты  $z$  при  $p_0 = 43$ ,  $\beta = 2$  и различных значениях  $K$ ,  $\alpha$ :

$a$  —  $K = 0,001$  (1 —  $\alpha = 1$ , 2 —  $\alpha = 3$ , 3 —  $\alpha = 5$ ),  $b$  —  $\alpha = 3$  (1 —  $K = 0,001$ , 2 —  $K = 0,003$ , 3 —  $K = 0,005$ )

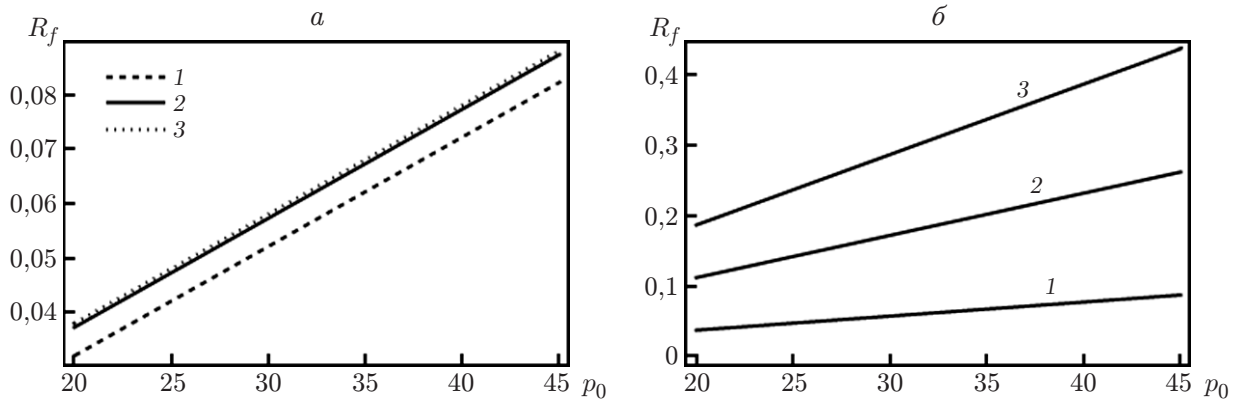


Рис. 6. Зависимости дробной реабсорбции  $R_f$  от начального давления  $p_0$  при  $\beta = 2$  и различных значениях  $K$ ,  $\alpha$ :  
 а —  $K = 0,001$  (1 —  $\alpha = 0,001$ , 2 —  $\alpha = 0,003$ , 3 —  $\alpha = 0,005$ ), б —  $\alpha = 3$  (1 —  $K = 0,001$ , 2 —  $K = 0,003$ , 3 —  $K = 0,005$ )

канальцах. Проведенное исследование позволяет сделать следующие выводы. Расход жидкости, давление, утечку жидкости и обратное течение можно контролировать путем увеличения параметра  $c$ . Радиальная скорость  $v$  увеличивается с увеличением константы  $\alpha$  и коэффициента проницаемости  $K$ . Это означает, что радиальная скорость жидкости Эллиса ( $\alpha > 1$ ) больше радиальной скорости ньютоновской жидкости ( $\alpha = 1$ ). Осевая скорость  $u$  уменьшается с увеличением константы  $\alpha$  и параметра  $K$ . Это, в частности, означает, что осевая скорость ньютоновской жидкости уменьшается быстрее, чем осевая скорость жидкости Эллиса. Напряжение сдвига  $\tau_w$  уменьшается с увеличением параметра  $K$  и увеличивается с увеличением параметра  $\alpha$ . Дробная реабсорбция  $R_f$  увеличивается с увеличением параметров  $K$ ,  $\alpha$ .

## ЛИТЕРАТУРА

1. Macey R. I. Pressure flow patterns in a cylinder with reabsorbing walls // Bull. Math. Biophys. 1963. V. 25, N 1. P. 1–9.
2. Macey R. I. Hydrodynamics in the renal tubule // Bull. Math. Biophys. 1965. V. 27, N 2. P. 117–124.
3. Kozinski A. A., Schmidt F. P., Lightfoot E. N. Velocity profiles in porous-walled ducts // Industr. Engng Chem. Fundament. 1970. V. 9, N 3. P. 502–505.
4. Radhakrishnaacharya G., Chandra P., Kaimal M. R. A hydrodynamical study of the flow in renal tubules // Bull. Math. Biology. 1981. V. 43, N 2. P. 151–163.
5. Marshall E. A., Trowbridge E. A. Flow of a Newtonian fluid through a permeable tube: the application to the proximal renal tubule // Bull. Math. Biology. 1974. V. 36, N 5/6. P. 457–476.
6. Palatt P. J., Sackin H., Tanner R. I. A hydrodynamic model of a permeable tubule // J. Theor. Biology. 1974. V. 44, N 2. P. 287–303.
7. Chaturani P., Ranganatha T. R. Flow of Newtonian fluid in non-uniform tubes with variable wall permeability with application to flow in renal tubules // Acta Mech. 1991. V. 88, N 1/2. P. 11–26.
8. Siddique A. M., Haroon T., Kahshan M. MHD flow of Newtonian fluid in a permeable tubule // Magnetohydrodynamics. 2015. V. 51, N 4. P. 655–672.

9. **Kahshan M., Siddique A. M., Haroon T.** A micropolar fluid model for hydrodynamics in the renal tubule // *Europ. Phys. J. Plus.* 2018. V. 133. Art. 546.
10. **Asghar S., Hussain Q., Hayat T., Alsaedi A.** Peristaltic flow of a reactive viscous fluid through a porous saturated channel and convective cooling conditions // *Appl. Mech. Tech. Phys.* 2015. V. 56, N 4. P. 580–589.
11. **Ali N., Sajid M., Abbas Z., Javed T.** Non-Newtonian fluid flow induced by peristaltic waves in a curved channel // *Europ. J. Mech. B. Fluids.* 2010. V. 29, N 5. P. 387–394.
12. **Canic S., Kim E. H.** Mathematical analysis of quasilinear effects in the hyperbolic model blood flow through compliant axi-symmetric vessel // *Math. Method Appl. Sci.* 2003. V. 26, N 14. P. 1161–1186.
13. **Noreen S., Nadeem S.** Carreau fluid model for blood flow through a tapered artery with a stenosis // *Ain Shams Engng J.* 2014. V. 5, N 4. P. 1307–1316.
14. **Javed M. A., Ali N., Sajid M.** A theoretical analysis of the calendaring of Ellis fluid // *J. Plastic Film Sheet.* 2016. V. 33, N 2. DOI: 10.1177/8756087916647998.
15. **Hopke S. W., Slattery J. C.** Upper and lower bounds on the drag coefficient of a sphere in an Ellis model fluid // *AIChE J.* 1970. V. 16, N 2. P. 224–229.
16. **Chhabra R. P., Tiu C., Uhlherr P. H. T.** Creeping motion of spheres through Ellis model fluids // *Rheolog. Acta.* 1981. V. 20, N 4. P. 346–351.

*Поступила в редакцию 16/VII 2019 г.,  
после доработки — 2/VII 2020 г.  
Принята к публикации 27/VII 2020 г.*

---